

(436)

異径クラスター圧延機の圧延特性

—異径クラスター圧延機の開発、その2—

新日鐵・生産技研 川並高雄、○山本普康 名古屋製鐵所 大矢清
三菱重工・広島造船所 橋本一義、守屋胸男 広島研究所 森本和夫

1. 緒言

等価ロール径が通常の4Hiミルよりも小さい異径クラスター圧延機¹⁾(以下NMRミルと呼ぶ)の圧延特性を、パイロットミルを用いて明らかにした。

2. 圧延実験から得られた特性

(1) 圧延荷重

Fig. 1のように、同径ロール圧延と異径ロール圧延の圧延荷重は等価ロール径($D_{eq} = 2D_1D_2 / (D_1 + D_2)$)で整理でき、等価ロール径が小さくなると圧延荷重は減少する。

(2) 圧延消費エネルギー

Fig. 2のように、圧延消費エネルギーも等価ロール径で整理できるが、等価ロール径が小さくなても圧延消費エネルギーはほとんど減少しない。これはロール径の減少による摩擦係数の増加の影響²⁾と推察される。

(3) スリップ限界圧下率

Fig. 3のように、大径WRのみ駆動の片側駆動(SRD)を大径WRと2本のIMRを駆動する両側駆動(TRD)にすると、駆動ロールの中立点がローラバイトより外側に飛び出すスリップ限界の圧下率は、大幅に増大する。このことから、Fig. 1の圧延荷重の減少効果をも考慮すると、NMRミルの最大圧下率は普通鋼で55~60%が可能なことが予想される。

(4) \bar{r} 値

1パス目をNMR圧延(圧下率30%)で残りパスを4Hi圧延した時と、全パス4Hi圧延した時の \bar{r} 値は、Fig. 4のようにほとんど差がない。

3. 結言

NMRミルは高圧下圧延が可能なことが確認された。

<文献>

1) 川並他；第32回塑加工連講論、(1981), 89.

2) 中島；圧延20周年記念シンポジウム、

(1974), 1.

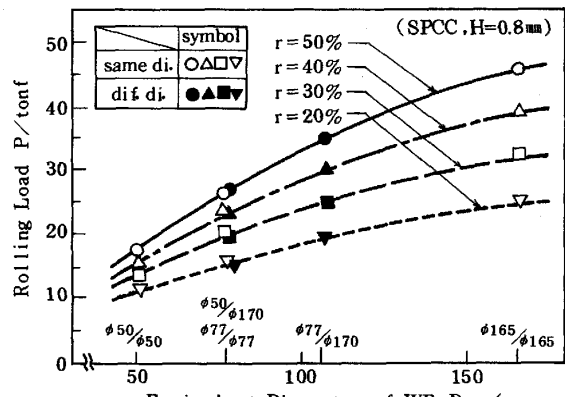


Fig. 1 Relation between rolling and equivalent diameter of WR
($\sigma_b \div 5 \text{ kgf} \cdot \text{mm}^{-2}$, $\sigma_f \div 10 \text{ kgf} \cdot \text{mm}^{-2}$)

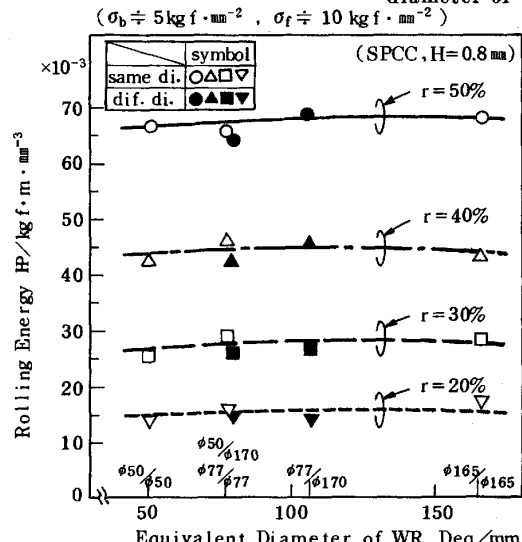


Fig. 2 Relation between rolling energy and equivalent diameter of WR
($\sigma_b \div 5 \text{ kgf} \cdot \text{mm}^{-2}$, $\sigma_f \div 10 \text{ kgf} \cdot \text{mm}^{-2}$)

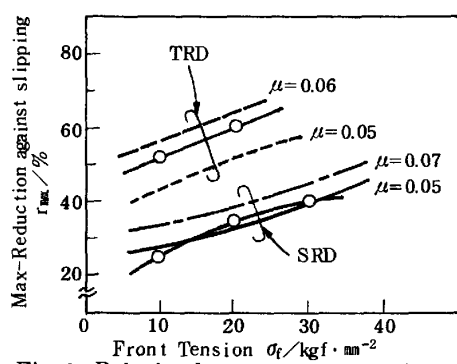
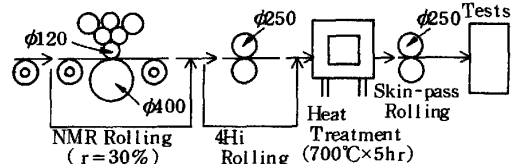


Fig. 3 Relation between max. reduction and front tension against slipping
($\sigma_b = 5 \text{ kgf} \cdot \text{mm}^{-2}$, High T.S. Steel, $H = 2.1 \text{ mm}$)

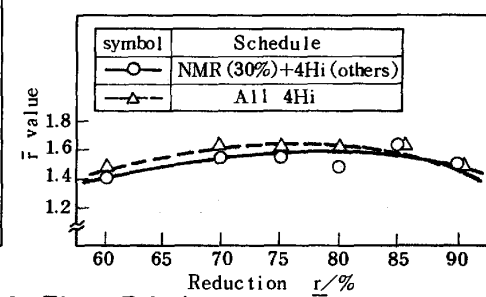


Fig. 4 Relation between \bar{r} value and reduction
(A-f killed steel, $H = 2.1 \text{ mm}$)
(Tensile strength: $40 \text{ kgf} \cdot \text{mm}^{-2}$)